

Уравнение (3) вместе с укороченными уравнениями для интенсивности и нелинейного набега фазы, полученными обычным путем (см., например, [4]),

$$W'_\xi = -W/V; \quad (4)$$

$$\varphi'_\xi = (V^2-1)/V^2, \quad (5)$$

граничными и начальными условиями  $W(0, \tau) = A(\tau)$ ,  $\varphi(0, \tau) = 0$ ,  $V(\xi, -\infty) = 1$  представляют собой замкнутую систему уравнений относительно  $V$ ,  $W$ ,  $\varphi$ . Система уравнений (3), (4) эквивалентна следующему нелинейному дифференциальному уравнению второго порядка в частных производных:

$$2V^3 V''_{\xi\tau} + 4V^2 V'_\xi V'_\tau + 2V^2 V'_\xi + 2V^2 V'_\tau + V^2 - 1 = 0. \quad (6)$$

Решение этого уравнения имеет вид

$$2(V-V_0) - \ln[(V+1)(V_0-1)/(V-1)(V_0+1)] + \xi = 0. \quad (7)$$

Здесь  $V_0$  — частота столкновений на границе плазмы  $\xi=0$ , которая определяется уравнением

$$2V_0^2 V'_{0\tau} + V_0^2 - 1 - \beta A(\tau) = 0. \quad (8)$$

Решение для безразмерной интенсивности имеет вид

$$W = A(\tau) \exp(-\xi) K(V, V_0); \quad (9)$$

$$K(V, V_0) = (V+1)^2 \exp\{-2(V-V_0)\}/(V_0+1)^2, \quad (10)$$

где  $K$  — коэффициент самовоздействия, описывающий искажение формы импульса, вызванное нелинейными эффектами. Выражение для нелинейного набега фазы получаем из уравнения (5), подставляя в него полученное решение для частоты столкновений из (7):

$$\varphi = 2(V_0 - V). \quad (11)$$

Из (9), (11) видно, что эволюция импульса в плазме определяется только частотой соударений (или, другими словами, температурой) на границе плазмы и длиной трассы.

Рассмотрим подробнее коэффициент самовоздействия  $K(V, V_0)$ . Можно показать, что он является монотонно убывающей функцией от  $V$  на интервале от 1 до  $V_0$ . При этом  $V$  монотонно убывает вдоль трассы от величины  $V_0$  (при  $\xi=0$ ) до 1 (при  $\xi \rightarrow \infty$ ). Следовательно, коэффициент самовоздействия растет вглубь плазмы от значения  $K(V_0, V_0) = 1$  при  $\xi=0$  до  $K(V, V_0) > K(V_0, V_0)$  в любой точке  $\xi$  в глубине плазмы, т. е. вдоль всей трассы имеет место просветление.

#### ЛИТЕРАТУРА

1. Гуревич А. В., Шварцбург А. Б. Нелинейная теория распространения радиоволн в ионосфере. — М.: Наука, 1973.
2. Черногор Л. Ф. — Геофизический сборник АН УССР, 1979, вып. 88, с. 50.
3. Гуревич А. В., Шлюгер И. С. — Изв. вузов — Радиофизика, 1975, 18, № 9, с. 1237.
4. Кутуков В. Б., Мальковский Д. Г. Тезисы докладов XIII Всесоюзной конференции по распространению радиоволн. Ч. 1. — М.: Наука, 1981, с. 292.
5. Пермяков В. А. — Изв. вузов — Радиофизика, 1977, 20, № 1, с. 146.
6. Гуревич А. В., Милих Г. М., Шлюгер И. С. — ЖЭТФ, 1975, 69, вып. 5(11), с. 1640.

Поступила в редакцию  
6 мая 1985 г.

УДК 538.574.3

#### ИСКАЖЕНИЕ ИМПУЛЬСА ПРИ ПРОХОЖДЕНИИ ЧЕРЕЗ ПЛАЗМЕННЫЙ ЦИЛИНДР

В. Б. Авдеев, Г. В. Гринченко, А. П. Ярыгин

Рассмотрим вопрос об искажении импульса волны, прошедшего через плазменное образование (ПО) в виде радиально-неоднородного цилиндра с электронной кон-

центрацией  $N(r) \sim 1/r^2$ . Интерес к этой задаче обусловлен тремя обстоятельствами. Во-первых, искажения импульса вызваны совместным действием дифракции и дисперсии в отличие, например, от известного случая только дифракционных искажений при прохождении импульса за металлическое препятствие. Во-вторых, для указанного ПО имеется возможность использовать строгое решение соответствующей задачи дифракции волн [1], что позволяет обеспечить высокую точность и надежность вычислений при спектральном анализе искажений импульса, особенно в резонансных и близких к ней областях электродинамических размеров ПО. И в-третьих, рассматриваемое ПО является приемлемой моделью при изучении плазменных шнуров, метеоных следов и т. д. и, таким образом, вопрос об искажении импульса на таком ПО может позволить интерпретировать радиофизические результаты, получаемые, в частности, при СВЧ диагностике ряда ПО.

Пусть ПО перпендикулярно к оси  $\varphi=0$  ( $r, \varphi$  — полярные координаты, см. рис. 1) из бесконечности падает импульс с синусоидальным заполнением и прямоугольной огибающей.

Представляя падающий импульс в виде разложения по плоским волнам и используя решение [1], можно записать выражение  $P(t)$  для импульса в любой точке наблюдения ПО в виде

$$P(t) \approx \int_{\omega_0 - \Delta\omega}^{\omega_0 + \Delta\omega} C(\omega) e^{i\omega t} A\left(\frac{\omega}{c} r, \varphi, kb\right) d\omega, \quad (1)$$

здесь

$$A\left(\frac{\omega}{c} r, \varphi, kb\right) = \sum_{-\infty}^{\infty} J_{\gamma_n}\left(\frac{\omega}{c} r\right) \times \\ \times \exp\left[i\left(\frac{\pi}{2} \gamma_n - n\varphi\right)\right], \quad \gamma_n = \sqrt{(kb)^2 + n^2},$$

$$C(\omega) = \frac{i}{2\pi} \frac{\exp[-i(\omega - \omega_0)T] - 1}{\omega - \omega_0}, \quad k = \frac{\omega}{c},$$

$kb = \text{const}$ ,  $b = b(\omega) \sim 1/\omega$ ,  $b$  — радиус ПО

по критической концентрации для волны с частотой  $\omega$ ,  $\omega_0 = 2\pi/T_0$  — частота несущей,  $c(\omega)$  и  $T$  — спектр и длительность импульса,  $c$  — скорость света.

Такая аппроксимация для  $P(t)$  основывается на том, что реально прием и передача импульсов ведется в конечной ширине частот  $\Delta\omega$ , причем, как правило,  $\Delta\omega = 20/T$ . Такой импульс на практике вполне хорошо аппроксимирует прямоугольный. В данной работе полагалось  $\Delta\omega = 20/T$ . Тогда после замены переменных формула (1) примет вид

$$P(t) = \frac{i}{2\pi} e^{i\omega_0 t} \int_{-a\tau/T}^{a\tau/T} R(x_0 + y) \exp[i\psi(x_0 + y)] \frac{e^{-i(T/\tau)y} - 1}{y} e^{iyt/\tau} dy, \quad (2)$$

где

$$R(x) = |A(x, \varphi, kb)|, \quad \psi(x) = \arg\{A(x, \varphi, kb)\},$$

$\tau = \frac{r}{c}$ ,  $x_0 = k_0 r$ ,  $k_0 = \frac{\omega_0}{c}$ ,  $a = 20$ ,  $\frac{\tau}{T} = \frac{1}{2\pi} \frac{k_0 r}{N}$ ,  $N = \frac{T}{T_0}$  — число колебаний несущей за время  $T$ .

Отсюда следует, что огибающая импульса зависит от пяти параметров:  $k_0 r$ ,  $\varphi$ ,  $kb$ ,  $N$ ,  $t/T$ . Причем в данной точке наблюдения при фиксированном  $kb$  с увеличением  $N$  огибающая импульса стремится к прямоугольной. Дальнейший анализ формулы (2) значительно упрощается, если аппроксимировать функции  $R(x)$  и  $\psi(x)$  элементарными функциями. С этой целью введем  $\alpha(x) = (\partial R/\partial x)/R(x)$ ,  $C_1(x) = -\partial\psi(x)/\partial x$  и будем рассматривать только точки наблюдения, принадлежащие области тени  $D(k_0 r, \varphi, kb)$ , в которой  $|R(k_0 r, \varphi, kb)| > 10^{-7}$ ,  $\varphi > \pi/2$ . Нижнее ограничение на  $R$  определяется тем, что на практике более глубокая тень не представляет интереса из-за ограниченной чувствительности приемника. Область  $D(k_0 r, \varphi, kb)$  при  $kb = 20$  приведена на рис. 1 (заштрихована). Численный анализ показал, что  $\alpha(x)$

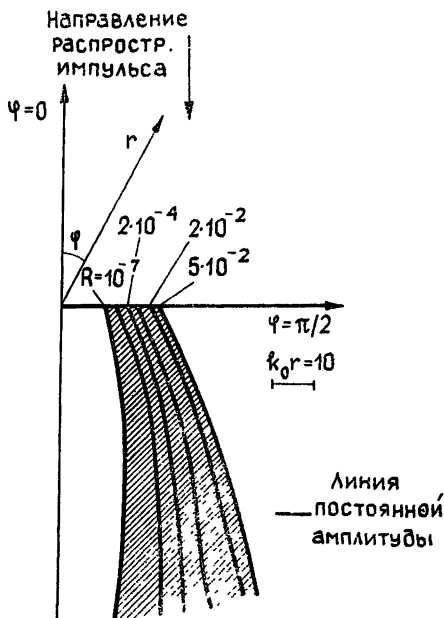


Рис. 1.

и  $C_1(x)$  на отрезках  $\left[ k_0 r - \frac{a\tau}{T}, k_0 r + \frac{a\tau}{T} \right]$  можно считать постоянными при  $N \geq 20$ .

Поэтому в области  $D$  на отрезках  $\left[ k_0 r - \frac{a\tau}{T}, k_0 r + \frac{a\tau}{T} \right]$   $R(x)$  и  $\psi(x)$  представим в виде

$$R(x_0 + y) = R(x_0) e^{\alpha(x_0)y}, \quad (3)$$

$$\psi(x_0 + y) = \psi(x_0) + C_1(x_0)y, \quad (4)$$

где  $x_0 = k_0 r$ . Подставляя (3) и (4) в (2), получим

$$|P(t)| = \frac{R(x_0)}{2\pi} \left| \int_{-a}^a e^{\alpha(x_0)\tau/T} y \frac{e^{-iy} - 1}{y} e^{iyt'/T} dy \right|, \quad (5)$$

где

$$t' = t + C_1(x_0)\tau.$$

Из выражения (5) следует, что форма огибающей целиком зависит от параметра  $\beta(k_0 r, \varphi, kb) = \frac{\alpha(k_0 r, \varphi, kb) k_0 r}{2\pi N}$ . На рис. 2 представлены огибающие импульсов при  $1/12\pi < \beta < 1/2\pi$  (огибающие нормированы на  $R(k_0 r, \varphi, kb)$ ). Как видно из рис. 2, огибающая импульса имеет одинаковый качественный характер для различных  $\beta$ . Введем параметр  $\delta(\beta)$ , равный сумме минимального и максимального отклонения огибающей от единицы (см. рис. 2). Согласно рис. 2, степень искажения импульса ( $\delta$ ) возрастает с ростом  $\beta$ , и при малых  $\beta$  ( $\beta < 1/8\pi$ ) искажением огибающей можно пренебречь. Определим, как искажается огибающая импульса при  $N = \text{const}$  в зависимости от  $k_0 r, \varphi$  и  $kb$ . При  $N = \text{const}$  значение  $\beta$  полностью определяется параметром  $\gamma = \alpha k_0 r$ . Следовательно, чем больше  $\gamma$ , тем больше  $\beta$  и в большей степени искажается огибающая (больше  $\delta$ ). Численные расчеты показали, что в области  $D$  в зависимости от изменения  $k_0 r, \varphi$  и  $kb$

- $\gamma$  возрастает при  $k_0 r \rightarrow 0$ ; если  $\varphi = \text{const}, kb = \text{const}$ ,
- $\gamma$  увеличивается с ростом  $\varphi$ , если  $k_0 r = \text{const}, kb = \text{const}$ ,
- $\gamma$  возрастает с увеличением  $kb$ , если  $k_0 r = \text{const}, \varphi = \text{const}$ .

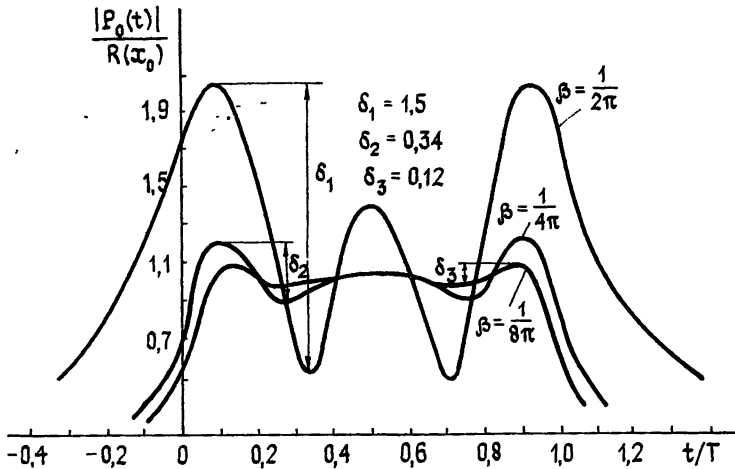


Рис. 2.

Однако для решения ряда прикладных задач важно, кроме того, знать характер зависимости степени искажения импульса для точек наблюдения, расположенных на линиях равной амплитуды. Пример таких линий при  $kb = 20$  приведен на рис. 1. В результате численного счета установлено, что  $\gamma$  уменьшается с увеличением  $\varphi$ , если  $R = \text{const}, kb = \text{const}$ . Отсюда следует, что в области  $D$  при  $kb < 30, N = \text{const}$  максимальное искажение огибающей достигается при  $kb = 30$  для точки наблюдения, в которой  $\varphi = \pi/2, R(x_0) = 10^{-7}$ . Расчеты, приведенные для этой точки наблюдения, в частности, показали, что при  $N = 20$  параметр  $\delta$  равен 1,5 (соответствующий график приведен на рис. 2 ( $\beta = 1/2\pi$ )), при  $N = 120$   $\delta \sim 0$  и, следовательно, влиянием плазмы на огибающую можно пренебречь.

Таким образом, приведенные расчеты показали:

- 1) При перемещении точки наблюдения вдоль луча, исходящего из центра цилиндра в направлении к центру, степень искажения импульса возрастает.

2) При удалении от центра цилиндра вдоль линии постоянной амплитуды ( $R = \text{const}$ ) степень искажения импульса уменьшается.

3) Для точек наблюдения с заданными угловой координатой и амплитудой импульса с ростом  $kb$  степень искажения импульса возрастает.

4) Если  $kb \lesssim 30$  и число колебаний несущей  $N \gtrsim 120$ , то искажения огибающей не превышают 10%.

В заключение отметим, что полученные при помощи численных расчетов условия неискажения импульса согласуются с грубыми оценками условий неискажения импульса в неоднородном плазменном слое толщины  $b$ . Такое соответствие указывает на то, что искажение импульса в плазме в основном обусловлено явлением дисперсии, а не дифракции.

#### ЛИТЕРАТУРА

1. Авдеев Б. В., Ярыгин А. П. — В сб.: Рассеяние электромагнитных волн. — Таганрог: ТРТИ, 1983, вып. № 4, с. 40.
2. Гинзбург В. Л. Распространение электромагнитных волн в плазме. — М.: Наука, 1967.

Поступила в редакцию  
10 апреля 1985 г.

УДК 517.9

### О СТОХАСТИЧЕСКОЙ ДИНАМИКЕ ЛУЧЕЙ В РЕЗОНАТОРАХ

Л. А. Бунимович

Пусть  $Q$  — ограниченная область на плоскости с кусочно-гладкой границей  $\partial Q$ . Рассмотрим в  $Q$  бильярдную задачу, т. е. динамическую систему, порожденную равномерным и прямолинейным движением материальной точки внутри  $Q$  с условием упругого отражения от  $\partial Q$ . Скорость частицы, без ограничения общности, можно считать по модулю равной единице. Ясно, что эта система является гамильтоновой и, тем самым, объем в ее фазовом пространстве инвариантен относительно динамики.

Известно [1], что если  $Q$  выпукла и ее граница является достаточно гладкой, то бильярд в  $Q$  обладает континуальным семейством каустик, сгущающимся к границе  $\partial Q$ . Более того, совокупность траекторий, касающихся этих каустик, имеет положительный объем в фазовом пространстве бильярда. Отсюда вытекает, в частности, что данная динамическая система не эргодична. С помощью каустики бильярда в  $Q$  можно построить [1] бесконечную серию квазимод для оператора Лапласа в  $Q$  (с нулевым граничным условием), локализованных в окрестности этой каустики. С другой стороны [2], если бильярд в  $Q$  эргодичен, то собственные функции оператора Лапласа асимптотически (при больших волновых числах) равномерно распределены в  $Q$ .

Если граница  $\partial Q$  является строго выпуклой внутрь области, то бильярд в  $Q$  называется рассеивающим (или бильярдом Синая). В [3, 4] было показано, что бильярды в таких областях обладают очень сильными стохастическими свойствами. Для «хороших» фазовых функций в рассеивающих бильярдах затухают временные корреляции (т. е. имеет место свойство перемешивания), откуда, в частности, вытекает свойство эргодичности.

Механизм стохастичности в бильярдах Синая является совершенно естественным: если на выпуклую внутрь области стенку падает пучок параллельных лучей, то после отражения от нее этот пучок станет расходящимся и будет отставаться расходящимся (локально)\* при всех последующих отражениях от границы. В результате длина фронта этого пучка растет, а при отражениях от границы скачком увеличивается его кривизна. Поэтому узкий вначале пучок траекторий равномерно «размазывается» по всему фазовому пространству рассеивающего бильярда.

С другой стороны, если граница  $\partial Q$  содержит выпуклую во вне  $Q$  стенку, то, отражаясь от нее, параллельный пучок фокусируется и становится сходящимся, т. е. траектории в нем не только не разбегаются, но даже имеют тенденцию к сближению. Поэтому ранее считалось, что бильярды в выпуклых областях не могут быть эргодическими. Однако в [5, 6] было показано, что имеется принципиально другой механизм, приводящий к стохастизации в некоторых классах бильярдов в выпуклых областях. Цель данной работы показать, что этот механизм является грубым, т. е. продолжает работать, если немного возмутить границу области.

Механизм стохастичности бильярдов в областях, имеющих выпуклые вовне стенки, состоит в том, что если достаточно долго подождать, то сходящийся пучок

\* Если бильярд — рассеивающий, то граница  $\partial Q$  имеет особые точки (концы гладких компонент  $\partial Q$ ). Поэтому особые точки возникают со временем и на фронте рассматриваемого пучка лучей.